

вития Л. Однако систем, работающих в видимом диапазоне и имеющих практическое значение, пока нет.

4) Гамма-лазеры и лазеры рентгено-диапазона широко обсуждаются в литературе. Есть первые успешные эксперименты по осуществлению рентгеновских лазеров.

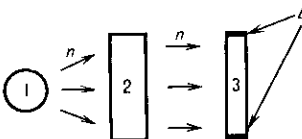
12) Параметрич. лазеры основаны на нелинейном явлении распада одного фотона на 2 других, суммарная энергия к-рых равна энергии исходного фотона. В качестве накачки используется лазерное излучение. Осн. преимущество — возможность перестройки частоты генерируемого излучения. Применяются в спектроскопии (см. Параметрический генератор света).

13) Л. на основе вынужденного комбинационного рассеяния; накачка лазерным излучением. Применяются для получения когерентного излучения разл. частот и для суммирования излучения неск. Л. с целью увеличения яркости когерентного излучения (подробнее см. Комбинационный лазер).

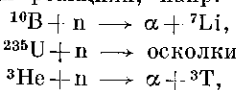
Лит.: Справочник по лазерам, пер. с англ., под ред. А. М. Прохорова, т. 1—2, М., 1978; Звездо О., Принципы лазеров, пер. с англ., 2 изд., М., 1984; О'Шиа Д., Коллен Р., Родс У., Лазерная техника, пер. с англ., М., 1980; Тарасов Л. В., Физика процессов в генераторах когерентного оптического излучения, М., 1981.

ЛАЗЕР С ЯДЕРНОЙ НАКАЧКОЙ (ЛЯН) — лазер, в к-ром усиливающая свет среда возбуждается непосредственно продуктами ядерных реакций. Обычно основа ЛЯН — трубка с газом, помещённая в поток

Схема лазера с ядерной накачкой: 1 — импульсный реактор; 2 — замедлитель нейтронов; 3 — трубка с рабочим газом; 4 — зеркала.



тепловых нейтронов (рис.). Нейтроны стимулируют реакции в ядерно-активном веществе, к-рое нанесено в виде тонкого слоя на внутр. поверхности трубы (обычно ^{10}B , ^{235}U , $^{235}\text{U}_3\text{O}_8$) или введено в трубку в виде газа (^3He). В ядерных реакциях, напр.



образуются быстрые ионы (с энергией $\sim 0,5\text{--}100\text{ MeV}$), к-рые ионизируют и возбуждают атомы находящегося в трубке рабочего газа, формируя лазерно-активную среду. ЛЯН реализованы на переходах Хе (длина волны $\lambda=3,65$; 3,508; 2,026; 1,73 мкм), Аг (1,79 мкм), Кр (2,523 мкм), С (1,454 мкм), О (0,8446 мкм), Си (1,587 мкм), N (0,8629 мкм), Cd (0,5327; 0,5378 мкм), CO (5,1—5,6 мкм) (см. Газоразрядные лазеры). Механизмы формирования инверсии населённостей в ЛЯН аналогичны тем, к-рые имеют место в плазменных лазерах с накачкой электронным пучком. Пороговая плотность потока нейтронов $10^{12}\text{--}10^{16}$ нейtron/cm²·с, длительность накачки $\sim 10^2\text{--}10^4$ мкс. Наиболее высокие значения мощности (~ 10 кВт) и КПД ($\sim 1\%$) получены на ИК-переходах ионизирующих газов.

ЛЯН представляют интерес в связи с проблемой создания системы реактор—лазер, в к-рой лазерно-активная зона совмещена с ядерно-активной зоной, где сосредоточена критич. масса ядерного реактора. При этом происходит быстрое преобразование части ядерной энергии в световую. Система пока не создана из-за трудностей совмещения условий работы лазера и реактора. Предложен газофазный ЛЯН на UF_6 и на аэрозольном топливе. Разрабатываются проекты реактора—лазера с тонкой (~ 10 мкм) ядерно-активной фольгой. Возможно осуществление ядерной накачки в реакторе с подкритич. режимом с использованием внеш. источника нейтронов.

Лит.: Гудзенко Л. И., Яковенко С. И., Плазменные лазеры, М., 1978; Войнов А. М. и др., Низкотемпературные лазеры с ядерной накачкой на переходах атомар-

ного ксенона, «ДАН СССР», 1979, т. 245, с. 80; Войнов А. М. и др., Инфракрасные лазеры с ядерной накачкой на переходах АгI, КрI и ХеI, «Письма в ЖТФ», 1979, т. 5, с. 422; Мисекевич А. И. и др., Генерация лазерного излучения на парах Cd при возбуждении продуктами ядерной реакции $\text{Ne}^3 + \text{n}$, «Т», там же, 1980, т. 6, с. 818; Войнов А. М. и др., Инфракрасный лазер с ядерной накачкой на смесях $\text{He} + \text{Xe}$ и $\text{Ar} + \text{Xe}$, «Т», там же, 1981, т. 7, с. 1016; De Young R. J., Kilowatt multiple-path $^3\text{He}-\text{Ar}$ nuclear-pumped laser, «Appl. Phys. Lett.», 1981, v. 38, p. 297; его же, Multiple-path fission-foil nuclear lasing of $\text{Ar}-\text{Xe}$, там же, v. 39, p. 585; Jafufka N. W., Ноул F., A direct nuclear-pumped $^3\text{He}-\text{Co}$ laser, там же, v. 39, p. 139; Jafufka N. W., Direct nuclear-pumped laser amplifier, там же, p. 690. С. И. Яковенко.

ЛАЗЕРНАЯ ИСКРА — см. в ст. Оптические разряды.

ЛАЗЕРНАЯ ПЛАЗМА — нестационарная плазменная среда, образующаяся при воздействии мощного лазерного излучения на вещество. Напр., Л. п. возникает при оптич. пробое в газовых средах (лазерная искра); при облучении лазером плоской твёрдой мишени («факел»); в оптических разрядах, поддерживаемых лазерным излучением; в лазерных термоядерных мишнях. Впервые экспериментально Л. п. была получена в лазерной искре (1963).

Характерные признаки Л. п. 1) Наличие сильного взаимодействия эл.-магн. поля лазерного излучения частоты ω с электронами и ионами плазмы в области с плотностью электронов $n_e \ll n_{kp} = \sqrt{m_e \omega^2 / 4\pi e^2}$, приводящего к неравновесности ф-ций распределения заряженных частиц. 2) Существование потоков излучения и частиц из зоны поглощения в глубь вещества и образования (при воздействии на твёрдые среды) области плазмы с $n_e \gg n_{kp}$. 3) Сильная пространственная неоднородность. 4) Многокомпонентный ионный состав. 5) Нестационарность: время жизни τ Л. п. определяется длительностью импульса, инерцией вещества, временем расширения. Характерное время гидродинамич. разлёта $t_{\text{тр}} \sim L/v$ (L — характерный размер Л. п., v — скорость разлёта). 6) Испусжение теплового излучения в широком спектральном диапазоне. 7) Широкий диапазон измеряемых параметров: $10^{16} \leq n_e \leq 10^{22} \text{ см}^{-3}$; $1 \text{ кэВ} < T \leq 10^4 \text{ эВ}$; $10^{-11} \text{ с} < t < 10^{-3} \text{ с}$; скорости разлёта до 10^8 см/с ; давления более 10 Мбар.

При воздействии лазерного излучения на среду Л. п. возникает в том случае, если плотность потока излучения q (Вт/см²) превысит нек-рое пороговое значение, зависящее от длины волны лазерного излучения и от параметров среды. Различают три стадии существования Л. п.: стадия нач. ионизации и оптич. пробоя вещества, образование собственно плазмы; стадия взаимодействия (поглощения, отражения, рефракции) лазерного излучения с плазмой, нагрева до высоких темп-р, увеличение степени ионизации; стадия разлёта, формирования ионных потоков, остыания плазмы.

Физические явления в Л. п. Во всех разновидностях Л. п. нач. стадия образования плазмы связана с оптическим пробоем, возникновение к-рого объясняется двумя механизмами: ионизацией электронным ударом с последующим образованием лавины электронной и многофотонной ионизации. С первым механизмом связан пробой газов ($p \sim 1$ атм) при $q \approx 10^{11} \text{ Вт/см}^2$ и пробой паров при воздействии на твёрдые мишени лазерного излучения с $q \approx 10^8\text{--}10^9 \text{ Вт/см}^2$.

При плотностях потока $q \geq 10^{11}\text{--}12 \text{ Вт/см}^2$ в Л. п. развиваются процессы многократной ионизации, к-рая носит нестационарный и неравновесный характер. Ионный состав плазмы обычно определяется процессами ударной и радиационной ионизации и рекомбинации. В плотной плазме ($n_e > 10^{22} \text{ см}^{-3}$) ионный состав близок к определяемому Саха формулой, в разреженной плазме ($n_e < n_{kp}$) — к корональному равновесию (см. Ионизационное равновесие). Поскольку для электронов с разл. значениями гл. квантового числа n вероятности радиационных процессов различны, то, возможно, и в Л. п. реализуется ситуация, когда в одном и том же атоме при малых n (для K и L электронов, $n=1, 2$) выполняются условия равновесия Саха, а при больших n — коронального равновесия.